

## 脆性材料のAE発生特性に関する基礎実験について

日本大学工学部 正員 田野久貴  
同上 学生員 今井久孝

### 1. まえがき

AE現象は、変形及び破壊の微観的過程によく対応するといわれ、これを観測することにより、材料や構造物の微視的・破壊過程を、明らかにしようと試みられていく。本研究は、人工的・脆性材料に二次元的スリット及び円孔を与えて、そのAE特性と、標準試体のAE特性とを比較することにより、スリットや円孔の応力集中やその分布が、内在する微視的欠陥にもどうくと思われる破壊発生に、どのような影響を与えるかを簡便的に知ろうとするものである。

### 2. 実験方法

水セメント比55%のモルタルを材料とする角柱供試体(6×6×12cm)に、あらかじめ設置したセルロイド片(厚さ0.3mm)を、硬化後引き抜くことで、二次元的な亀裂(单一スリット)を与える。スリット長さを、1cm, 2cm, 3cmと変化させて一軸圧縮試験を行い、図-1のAE測定装置を使用し、一連の載荷状態の中で載荷荷重500kgごとにAEをトータルで測定する。この時AEの測定レベルの設定としては、センサー感度140Hz, ディスクリレバーエネルギー(4)100kHz, (1)FLAT, GAIN30dB, プリアンプ、フィルター(4)FLAT, GAIN20dBを使用し、センサーの取付けには輪ゴムを行なった。供試体と耐圧試験機との間に、端面拘束を防ぐ目的でビニールを用いた。また円孔を用いた供試体も、上記と同様の方法で実験を行なった。今回の実験において供試体本数は、スリットを与えたもの各3本、円孔を与えたもの各10本行なった。

### 3. 実験結果

スリットを与えた供試体の実験結果を図-2, 3に示し、円孔を用いた供試体の実験結果を図-4, 5に示す。

図-3より、標準供試体とスリットを与えた供試体とを比較すると、後者は載荷直後のAE発生数が多いが、それ以後の増加量は、標準供試体とはほぼ同じである。またスリット長さが増加すると、載荷直後のAE発生数も増加する傾向が見られる。

次に荷重増加とAE発生数においては、載荷直後にAEが発生

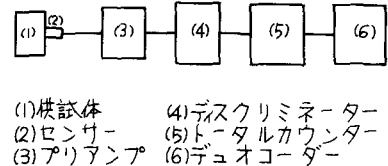


図-1 AE測定装置のブロックダイアグラム

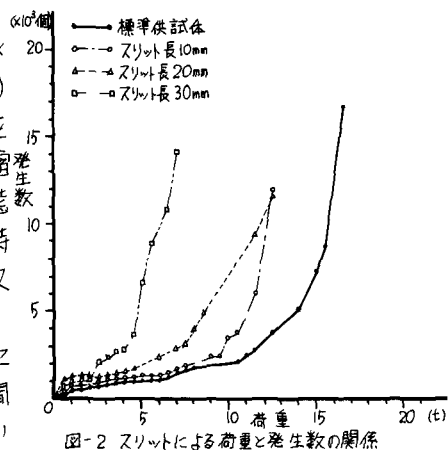


図-2 スリットによる荷重と発生数の関係

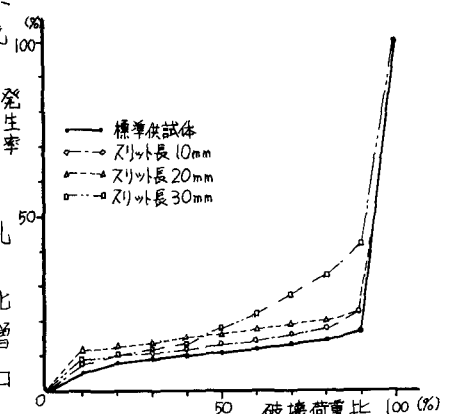


図-3 スリットによるAE発生率と破壊荷重比の関係

して、この傾向が見られる。また図-2, 3より破壊荷重の50%前後から、AE発生数が増加する傾向が見られる。

円孔を用いた供試体においては、図-4、5より、破壊荷重の10%前後ににおける発生状態が異なる点を除けば、スリットを用いた供試体とほぼ同様の傾向が見られる。

#### 4. 考察

図-3において、標準供試体とスリットを与えた供試体とを比較すると、後者は、載荷直後に前者より多くのAE発生数が記録されたが、それ以後は、前者とほぼ同じ増加量である。また図-1と比較すると、円孔におけるAE発生数が多くなる傾向にある。

スリットを用いたことにより起る、スリット周辺の応力集中とAE発生数の関係において、表-1より明らかのように、スリットの圧縮領域における応力集中率が高いにもかかわらず、スリットのAE発生数が円孔に比べ少ないということは、応力レベルの低い段階では、応力集中がAE発生数に直接関係していないと考えられる。ここで図-1において、直径20mm, 30mmの円孔のグラフが破壊荷重の10%前後で、標準供試体に比べ小さくなっているのは本数が少ないのであらざりしたことはいえないが、モルタルの更質部分の体積が少ないので、供試体に含まれる潜在的クラックが、少ないのでから起るものと考えられる。また、直径10mmのものは、直径が小さいために体積による影響が少ないと考えられる。スリット及び円孔において、長さの長いものほどAE発生数が多くなる傾向にあることから、スリット及び円孔の長さが長くなることにより、その周辺の応力勾配が緩かになり、微視的な亀裂が生じやすくなるため、それに伴ってAE発生が起ると考えられる。

次に荷重増加とAE発生数について考えてみると、載荷直後にAEが発生していることがある。これは載荷直後にあって、耐圧試験機の加压板と供試体の接觸面とが、平滑でないために起るものと考えられる。一方、スリット周辺の亀裂の発生を測定した実験報告では亀裂発生から全体破壊まで、約2倍の応力に耐えられるという結果が得られており、破壊荷重の50%前後からAE発生数が急増する(図-2, 4)というこれらの実験結果と、何らかの対応があるものと思われるが、さらに検討が必要である。

#### 参考文献

1)西田正孝著:応力集中、森北出版

2)田野久貴、佐武正雄:水平スリットをもつ脆性供試体の一軸圧縮における破壊開始と最終強度の関係について  
土木学会、第26回 年次学術講演会講演概要集Ⅲ P.1~4 1971

項目 種類	寸法 (mm)	幅 (mm)	厚さ (mm)	応力集中率	
				引張領域	圧縮領域
スリット	10	60	0.3	/	0.318
	20	60	0.3	/	1.374
	30	60	0.3	/	1.529
円孔	10	60		/	2.579
	20	60		/	2.296
	30	60		/	2.125

表-1 応力集中率<sup>1)</sup>

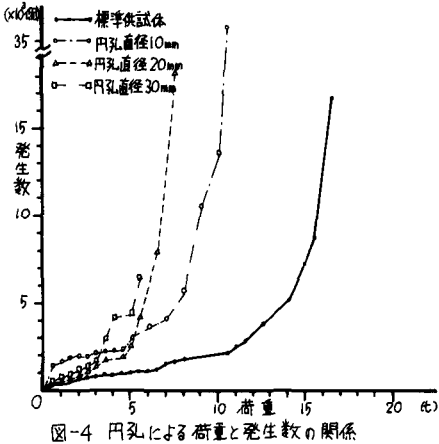


図-4 円孔による荷重と発生数の関係

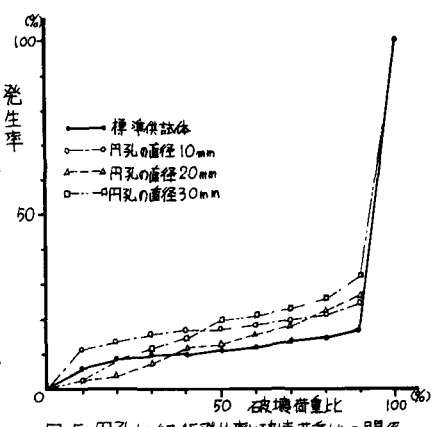


図-5 円孔によるAE発生率と破壊荷重比の関係